

INF2310 – Digital bildebehandling

FORELESNING 8

REPETISJON: FILTRERING I BILDEDOMENET

Andreas Kleppe

Filtrering og konvolusjon

Lavpassfiltrering og kant-bevaring

Høypassfiltrering: Bildeforbedring og kantdeteksjon

F8 12.03.13

INF2310

1

2D-konvolusjon

- Konvolusjon av et filter h og et bilde f :

$$(h * f)(x, y) = \sum_{s=-a}^a \sum_{t=-b}^b h(s, t) f(x-s, y-t)$$

$$= \sum_{s=x-a}^{x+a} \sum_{t=y-b}^{y+b} h(x-s, y-t) f(s, t)$$

evaluert for alle (x, y) slik at hver verdi av h overlapper hver verdi av f .

- Responsen i (x, y) er en **veiet sum av inn-bildets verdier.**
 - Konvolusjonsfilteret spesifiserer vektene.
 - h kan spesifiseres som en matrise!

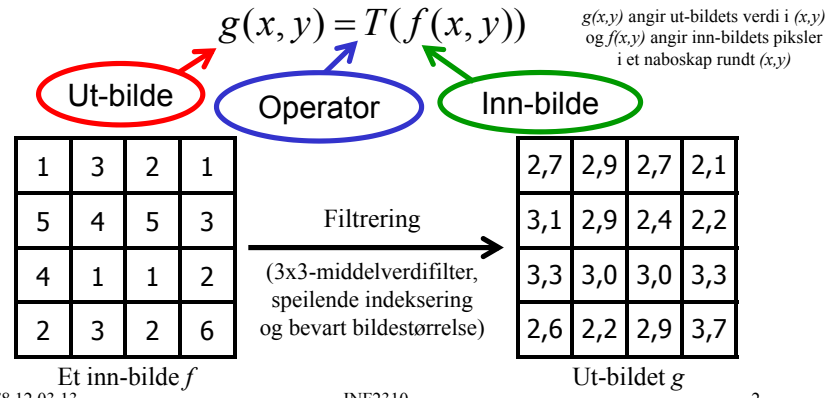
1/9	1/9	1/9
1/9	1/9	1/9
1/9	1/9	1/9

3x3-middelverdifilter

3

Filtrering i bildedomenet

- Anvendelsen av en **operator** som beregner ut-bildets verdi i hvert piksel (x, y) ved bruk av inn-bildets piksler i et **naboskap** rundt (x, y) .



2

2D-konvolusjons-eksempel

Oppgave: Konvolver følgende filter og bilde:

1/9	1/9	1/9
1/9	1/9	1/9
1/9	1/9	1/9

3x3-middelverdifilter

1	3	2	1
5	4	5	3
4	1	1	2
2	3	2	6

Inn-bilde f

F8 12.03.13

INF2310

F8 12.03.13

INF2310

4

2D-konvolusjons-eksempel

Steg 1: Roter filteret 180 grader.

Ikke nødvendig her ettersom filteret er symmetrisk.

1/9	1/9	1/9
1/9	1/9	1/9
1/9	1/9	1/9

3x3-middelverdifilteret
er symmetrisk

F8 12.03.13

INF2310

5

2D-konvolusjons-eksempel

Steg 2: Legg det roterte filteret over først posisjon der filteret og bildet overlapper.

1/9	1/9	1/9			
1/9	1/9	1/9			
1/9	1/9	1•1/9	3	2	1
		5	4	5	3
		4	1	1	2
		2	3	2	6

Inn-bilde f

F8 12.03.13

INF2310

6

2D-konvolusjons-eksempel

Steg 3: Multipliser filterets vekter med verdiene av de overlappende pikslene i bildet.

Responsen er summen av produktene.

1/9	1/9	1/9				
1/9	1/9	1/9				
1/9	1/9	1•1/9	3	2	1	
		5	4	5	3	
		4	1	1	2	
		2	3	2	6	

$$1 \cdot 1/9 = 1/9 \approx 0,1$$

0,1						

INF2310

7

2D-konvolusjons-eksempel

Steg 4: Gjenta 3 for neste overlapp. Ikke flere: ferdig!

Steg 3: Multipliser filterets vekter med verdiene av de overlappende pikslene i bildet og summer.

1/9	1/9	1/9				
1/9	1/9	1/9				
1/9	1•1/9	3•1/9	2	1		
	5	4	5	3		
	4	1	1	2		
	2	3	2	6		

F8 12.03.13

INF2310

8

0,1	0,4					

Foreløpig ut-bildet g

2D-konvolusjons-eksempel

... fjorten steg 3 senere:

Steg 3: Multipliser filterets vekter med verdiene av de overlappende pikslene i bildet og summer.

1	$3 \cdot 1/9 + 2 \cdot 1/9 + 1 \cdot 1/9 +$ $4 \cdot 1/9 + 5 \cdot 1/9 + 3 \cdot 1/9 +$ $1 \cdot 1/9 + 1 \cdot 1/9 + 2 \cdot 1/9 = 22/9 \approx 2,4$	$3 \cdot 1/9$	$2 \cdot 1/9$	$1 \cdot 1/9$	
5	$4 \cdot 1/9$	$5 \cdot 1/9$	$3 \cdot 1/9$		
4	$1 \cdot 1/9$	$1 \cdot 1/9$	$2 \cdot 1/9$		
2	3	2	6		

F8 12.03.13

INF2310

9

0,1	0,4	0,7	0,7	0,3	0,1
0,7	1,4	2,2	2,0	1,2	0,4
1,1	2,0	2,9	2,4		

Foreløpig ut-bildet g

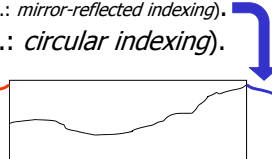
F8 12.03.13

INF2310

9

Hva gjør vi langs bilderanden?

- Utvid inn-bildet:
 - **VANLIG:** Med 0-ere (nullutvidelse, eng.: *zero padding*).
 - Med en annen fast verdi.
 - Med nærmeste pikselverdi (eng.: *replicate*).
 - Ved bruk av **speilende indeksering** (eng.: *mirror-reflected indexing*).
 - Ved bruk av **sirkulær indeksering** (eng.: *circular indexing*).
- Sett ut-bildet til en fast verdi:
 - F.eks. $g(x,y) = 0$ eller $g(x,y) = f(x,y)$.
- Ignorer posisjonene uten overlapp.
 - Identisk resultat som nullutvidelse for konvolusjonsfiltre.



F8 12.03.13

INF2310

11

2D-konvolusjons-eksempel

... og etter tjue steg 3 til:

Steg 4: Gjenta 3 for neste overlapp. Ikke flere: **ferdig!**
Løsningen er:

$$\begin{array}{c}
 \begin{array}{|c|c|c|} \hline
 1/9 & 1/9 & 1/9 \\ \hline
 1/9 & 1/9 & 1/9 \\ \hline
 1/9 & 1/9 & 1/9 \\ \hline
 \end{array} * \begin{array}{|c|c|c|} \hline
 1 & 3 & 2 & 1 \\ \hline
 5 & 4 & 5 & 3 \\ \hline
 4 & 1 & 1 & 2 \\ \hline
 2 & 3 & 2 & 6 \\ \hline
 \end{array} = \begin{array}{|c|c|c|c|c|c|} \hline
 0,1 & 0,4 & 0,7 & 0,7 & 0,3 & 0,1 \\ \hline
 0,7 & 1,4 & 2,2 & 2,0 & 1,2 & 0,4 \\ \hline
 1,1 & 2,0 & 2,9 & 2,4 & 1,6 & 0,7 \\ \hline
 1,2 & 2,1 & 3,0 & 3,0 & 2,1 & 1,2 \\ \hline
 0,7 & 1,1 & 1,4 & 1,7 & 1,2 & 0,9 \\ \hline
 0,2 & 0,6 & 0,8 & 1,2 & 0,9 & 0,7 \\ \hline
 \end{array} \\
 \text{3x3-middelverdifilter} \qquad \qquad \qquad \text{Inn-bilde } f \qquad \qquad \qquad \text{Ut-bildet } g
 \end{array}$$

F8 12.03.13

INF2310

10

Hvor stort skal ut-bildet være?

- Trunkér ut-bildet
 - Bare behold piksler der hele filteret er innenfor inn-bildet.
- Behold inn-bildets størrelse
 - Bare behold piksler der filterorigo er innenfor inn-bildet.
 - Vanlig når man filtrerer et bilde.
 - Langs randen må vi gjøre en antagelse, se foilen to før.
- Utvid inn-bildets størrelse
 - Behold alle piksler der filteret og «inn-bildet» har overlapp.
 - Svært uvanlig utenom for konvolusjon av to filtre.
 - Langs randen må vi gjøre en antagelse, se foilen to før.
- **Merk:** Dette gjelder **all filtrering**, ikke bare konvolusjon!

F8 12.03.13

INF2310

12

Lavpassfiltre

- Slipper gjennom lave frekvenser og demper eller fjerner høye frekvenser.
 - Lav frekvenser = trege variasjoner, store trender.
 - Høye frekvenser = skarpe kanter, støy, detaljer.
 - ... mye mer om frekvens i Fourier-forelesningene.
- Effekt: **Glatting/utsmøring/«blurring»** av bildet.
- Typiske mål: Fjerne støy, finne større objekter.
- **Utfordring:** Bevare kanter.

F8 12.03.13

INF2310

13

Separable filtre

- Et filter kalles separabelt hvis **filttringen kan utføres som to sekvensielle 1D-filtreringer**.
- Fordel: **Raskere filtrering**.
- Geometrisk form: Rektangel (inkludert kvadrat).
- Middelverdifiltre er separable: For 5x5-naboskap:

$$h(i,j) = \frac{1}{25} \begin{bmatrix} 1 & 1 & 1 & 1 & 1 \\ 1 & 1 & 1 & 1 & 1 \\ 1 & 1 & 1 & 1 & 1 \\ 1 & 1 & 1 & 1 & 1 \\ 1 & 1 & 1 & 1 & 1 \end{bmatrix} = \frac{1}{25} [1 \ 1 \ 1 \ 1 \ 1] * \begin{bmatrix} 1 \\ 1 \\ 1 \\ 1 \\ 1 \end{bmatrix}$$

- Beregne én respons for $n \times n$ -konvolusjonsfiltre:
 - 2D-konvolusjon: n^2 multiplikasjoner og $n^2 - 1$ addisjoner.
 - To 1D-konvolusjoner: $2n$ multiplikasjoner og $2(n-1)$ addisjoner.

F8 12.03.13

INF2310

15

Middelverdifilter (lavpass)

- Beregner middelverdien i naboskapet.
 - Alle vektene er like.
 - Vektene summerer seg til 1.
 - Gjør at den lokale gjennomsnittsverdien bevares.
- Størrelsen på filteret avgjør graden av glatting.
 - Stort filter: mye glatting (utsmørt bilde).
 - Lite filter: lite glatting, men kanter bevares bedre.

$$\frac{1}{9} \begin{bmatrix} 1 & 1 & 1 \\ 1 & 1 & 1 \\ 1 & 1 & 1 \end{bmatrix}, \quad \frac{1}{25} \begin{bmatrix} 1 & 1 & 1 & 1 & 1 \\ 1 & 1 & 1 & 1 & 1 \\ 1 & 1 & 1 & 1 & 1 \\ 1 & 1 & 1 & 1 & 1 \\ 1 & 1 & 1 & 1 & 1 \end{bmatrix}, \quad \frac{1}{49} \begin{bmatrix} 1 & 1 & 1 & 1 & 1 & 1 & 1 \\ 1 & 1 & 1 & 1 & 1 & 1 & 1 \\ 1 & 1 & 1 & 1 & 1 & 1 & 1 \\ 1 & 1 & 1 & 1 & 1 & 1 & 1 \\ 1 & 1 & 1 & 1 & 1 & 1 & 1 \\ 1 & 1 & 1 & 1 & 1 & 1 & 1 \\ 1 & 1 & 1 & 1 & 1 & 1 & 1 \end{bmatrix}$$

F8 12.03.13

INF2310

14

Approksimasjon av 3x3-Gauss-filter

$$\begin{aligned} G_{3 \times 3} &= \frac{1}{16} \begin{bmatrix} 1 \\ 1 \\ 1 \end{bmatrix} * [1 \ 1 \ 1] * \begin{bmatrix} 1 & 1 \\ 1 & 1 \end{bmatrix} * [1 \ 1] \\ &= \frac{1}{16} \begin{bmatrix} 1 & 1 \\ 1 & 1 \end{bmatrix} * \begin{bmatrix} 1 & 1 \\ 1 & 1 \end{bmatrix} \\ &= \frac{1}{16} \begin{bmatrix} 1 & 2 & 1 \\ 2 & 4 & 2 \\ 1 & 2 & 1 \end{bmatrix} \\ &= \frac{1}{16} \begin{bmatrix} 1 \\ 2 \\ 1 \end{bmatrix} * [1 \ 2 \ 1] \end{aligned}$$

Tilsvarer en **geometrisk vektning**:

- Vekten til et piksel er en funksjon av avstanden til (x,y) .
- Nære piksler er mer relevante og blir derfor større vekt.

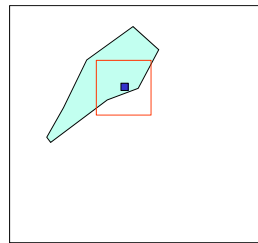
F8 12.03.13

INF2310

16

Kant-bevarende støyfiltrering

- Ofte lavpassfiltrerer vi for å **fjerne støy**, men ønsker samtidig å **bevare kanter**.
- Det finnes et utall av «kantbevarende» filtre.
- Men det er et system:
 - Tenker at vi har flere piksel-populasjoner i naboskapet rundt (x,y) , f.eks. to:
 - Sub-optimalt å bruke all pikslene.
- Vi kan sortere pikslene:
 - Radiometrisk (etter pikselverdi)
 - Både geometrisk (etter pikselposisjon) og radiometrisk



F8 12.03.13

INF2310

17

Middelverdi eller median?



Inn-bildet med tydelig salt-og-pepper-støy

Etter middelverdifiltrering

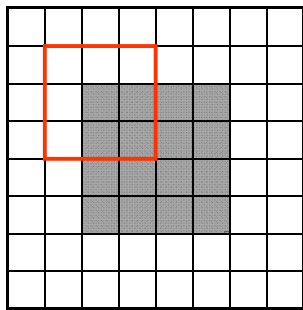
Etter medianfiltrering

F8 12.03.13

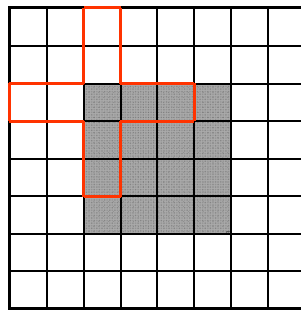
INF2310

18

Medianfiltrering og hjørner



Med kvadratisk naboskap
avrundes hjørnene



Med pluss-formet naboskap
bevares hjørnene

F8 12.03.13

INF2310

19

Kant-bevarende støyfiltrering

- Trimmet middelverdifilter:
 - Alpha-trimmet middelverdifilter (radiometrisk sortering):
 $g(x,y) = \text{middelverdien av de } mn-d \text{ midterste verdiene}$
(etter sortering) i mxn -naboskapet rundt (x,y) .
 - K Nearest Neighbour-filter (radiometrisk sortering):
 $g(x,y) = \text{middelverdien av de } K \text{ pikslene i naboskapet}$
rundt (x,y) som ligner mest på (x,y) i pikselverdi.
 - K Nearest Connected Neighbour-filter (også geometrisk):
 K Nearest Neighbour-filter med uendelig stort naboskap
og der de valgte pikslene er tilkoblet ut-posisjonen (x,y) .
 - Max-homogenitet-filter (også geometrisk):
 $g(x,y) = \text{middelverdien av det mest homogene sub-naboskapet.}$
 - Symmetrisk nærmeste nabo-filter (også geometrisk):
 $g(x,y) = \text{middelverdien av de mest lignende fra}$
hvert symmetrisk piksel-par rundt (x,y) .
- MinimalMeanSquareError-filter: Nær middelverdien når lokal varians tilsvarer anslått støyvariанс (en parameter), ellers nær uendret.

F8 12.03.13

INF2310

20

Høypassfiltre

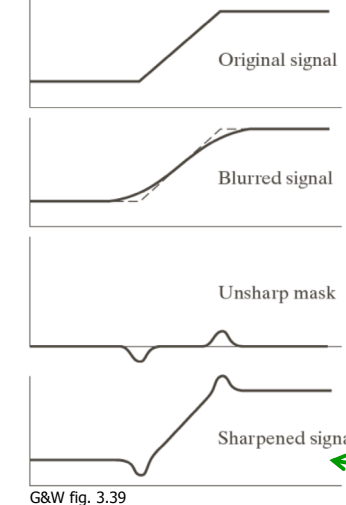
- Slipper gjennom høye frekvenser, og demper eller fjerner lave frekvenser.
 - Typisk fjernes den aller laveste frekvensen helt, d.v.s. at homogene områder får ut-verdi 0.
- Effekt:**
 - Demper langsomme variasjoner, f.eks. bakgrunn.
 - Fremhever skarpe kanter, linjer og detaljer.
- Typiske mål: «Forbedre» skarpheten, detektere kanter.
- Q: Hva skjer med støy?

F8 12.03.13

INF2310

21

Unsharp masking og highboost-filtrering



- Gitt et bilde (original): (til venstre: et 1D-bilde av en rampe)

1. Lavpassfiltrer. (til høyre er originalen stiplet)

2. Beregn differansen: $original - filtrering$

3. Resultatet er: $original + k \cdot differansen$

- k er en positiv konstant.
- Unsharp masking:** $k = 1$ (brukt til høyre)
- Highboost-filtrering:** $k > 1$

F8 12.03.13

INF2310

22

Intensitets-flater, -kanter og -linjer

- Homogen flate:** Et område der alle pikselverdiene er like. → [Solid blue square]
- Kant:** Omgangen mellom to områder med forskjellig middelverdi.
 - Steg-kant:** En-piksels overgang. → [Two adjacent black and gray squares]
 - Rampe:** Fler-piksels overgang med konstant intensitetssending (d.v.s. konstant gradient).
- «Kant» brukes også om skillepunktet mellom de to områdene.
 - Forskjellige måter å modellere hvor skiller er.
 - For steg-kanter:
 - Et alternativ er midt mellom nabopiksler som tilhører forskjellig områder.
 - I segmentering ønsker man typisk å finne første piksel på siden som tilhører objektet.
- Merk at en linje består av to kanter. → [A vertical line with two gray segments on either side]
- Idealstrukturer er nyttig for modellering, men i praksis finner vi oftest strukturer som bare ligner.

F8 12.03.13

INF2310

23

Digital derivasjon

- En kant kjennetegnes ved **endring i intensitetsverdi**.
 - Siden en intensitetskant er overgang mellom to områder med forskjellig middelverdi, så må intensiteten endres i kanten.
- Den **deriverte** av en funksjon $f(x)$ er definert som:

$$\lim_{h \rightarrow 0} \frac{f(x+h) - f(x)}{h}$$
 og angir stigningstallet til f i punktet x , så $|f'(x)|$ angir hvor mye f endrer seg i punktet x .
- Den deriverte er **ikke definert** for diskrete funksjoner, men vi kan **tilnærme** den ved å la $h \geq 1$ i definisjonen.
 - Tilnærme v.b.a. **differanser mellom nærliggende piksler**.

F8 12.03.13

INF2310

24

Derivasjon av bilder

- Et digitalt bilde er en to-variabel, diskret funksjon.
- En kontinuerlig funksjon $f(x, y)$ kan deriveres m.h.p. x og y .
 - Kalles å partiell-derivere m.h.p. x og y .
 - Betegnes henholdsvis $\partial f(x, y)/\partial x$ og $\partial f(x, y)/\partial y$
- Vektoren av de to partiell-deriverte kalles **gradienten** og betegnes ∇f :

$$\nabla f = \begin{bmatrix} \frac{\partial f}{\partial x} \\ \frac{\partial f}{\partial y} \end{bmatrix}$$

F8 12.03.13

INF2310

25

Gradient \perp Kant

- Gradienten** peker i retningen der funksjonen øker mest og **kanten** går **vinkelrett på gradienten**.

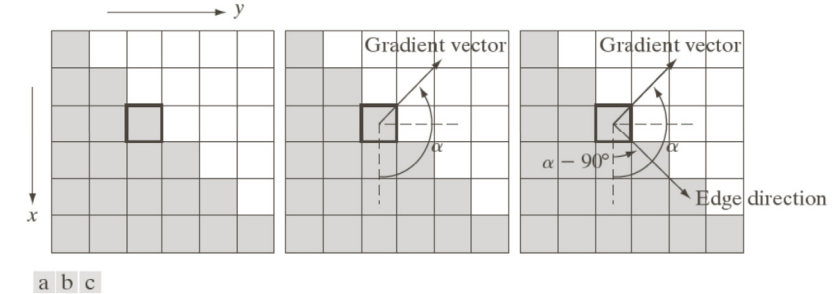


FIGURE 10.12 Using the gradient to determine edge strength and direction at a point. Note that the edge is perpendicular to the direction of the gradient vector at the point where the gradient is computed. Each square in the figure represents one pixel.

F8 12.03.13

INF2310

26

Gradient-operatorer

- Asymmetrisk 1D-operator:

$$h_x(i, j) = \begin{bmatrix} 0 & 1 & 0 \\ 0 & -1 & 0 \\ 0 & 0 & 0 \end{bmatrix} \quad h_y(i, j) = \begin{bmatrix} 0 & 0 & 0 \\ 1 & -1 & 0 \\ 0 & 0 & 0 \end{bmatrix}$$
 - Også kalt «pixel difference»-operatoren.
- Symmetrisk 1D-operator:

$$h_x(i, j) = \begin{bmatrix} 0 & 1 & 0 \\ 0 & 0 & 0 \\ 0 & -1 & 0 \end{bmatrix} \quad h_y(i, j) = \begin{bmatrix} 0 & 0 & 0 \\ 1 & 0 & -1 \\ 0 & 0 & 0 \end{bmatrix}$$
 - Også kalt «separated pixel difference»-operatoren.
- Roberts-operatoren (også kalt Roberts kryssgradient-operator):

$$h_x(i, j) = \begin{bmatrix} 1 & 0 & 0 \\ 0 & -1 & 0 \\ 0 & 0 & 0 \end{bmatrix} \quad h_y(i, j) = \begin{bmatrix} 0 & 1 & 0 \\ -1 & 0 & 0 \\ 0 & 0 & 0 \end{bmatrix}$$

NB: Vi angir konvolusjonsfiltre i den tanke at de skal brukes til konvolusjon.

G&W angir filtermasker som skal brukes til korrelasjon.
Filtrene vil derfor avvike med en 180 graders rotasjon.

F8 12.03.13

INF2310

27

Gradient-operatorer

- Prewitt-operatoren:

$$h_x(i, j) = \begin{bmatrix} 1 & 1 & 1 \\ 0 & 0 & 0 \\ -1 & -1 & -1 \end{bmatrix} \quad h_y(i, j) = \begin{bmatrix} 1 & 0 & -1 \\ 1 & 0 & -1 \\ 1 & 0 & -1 \end{bmatrix}$$
 - NB: Vi angir konvolusjonsfiltre i den tanke at de skal brukes til konvolusjon.
 - G&W angir filtermasker som skal brukes til korrelasjon.
 - Filtrene vil derfor avvike med en 180 graders rotasjon.
- Sobel-operatoren:

$$h_x(i, j) = \begin{bmatrix} 1 & 2 & 1 \\ 0 & 0 & 0 \\ -1 & -2 & -1 \end{bmatrix} \quad h_y(i, j) = \begin{bmatrix} 1 & 0 & -1 \\ 2 & 0 & -2 \\ 1 & 0 & -1 \end{bmatrix}$$
 - NB: Vi angir konvolusjonsfiltre i den tanke at de skal brukes til korrelasjon.
 - Filtrene vil derfor avvike med en 180 graders rotasjon.
- Frei-Chen-operatoren:

$$h_x(i, j) = \begin{bmatrix} 1 & \sqrt{2} & 1 \\ 0 & 0 & 0 \\ -1 & -\sqrt{2} & -1 \end{bmatrix} \quad h_y(i, j) = \begin{bmatrix} 1 & 0 & -1 \\ \sqrt{2} & 0 & -\sqrt{2} \\ 1 & 0 & -1 \end{bmatrix}$$

F8 12.03.13

INF2310

28

Større gradient-operatorer

- De symmetriske gradient-operatorene kan gjøres mer støy-robuste ved å bygge inn mer lavpassfiltrering.
- Eksempel: Følgende 5×5 -Sobel-operator:

$$h_x(i, j) = \begin{bmatrix} 1 & 4 & 6 & 4 & 1 \\ 2 & 8 & 12 & 8 & 2 \\ 0 & 0 & 0 & 0 & 0 \\ -2 & -8 & -12 & -8 & -2 \\ -1 & -4 & -6 & -4 & -1 \end{bmatrix} \quad h_y(i, j) = \begin{bmatrix} 1 & 2 & 0 & -2 & -1 \\ 4 & 8 & 0 & -8 & -4 \\ 6 & 12 & 0 & -12 & -6 \\ 4 & 8 & 0 & -8 & -4 \\ 1 & 2 & 0 & -2 & -1 \end{bmatrix}$$

er resultatet av konvolusjonene:

$$h_x(i, j) = \begin{bmatrix} 1 & 2 & 1 \\ 0 & 0 & 0 \\ -1 & -2 & -1 \end{bmatrix} * \begin{bmatrix} 1 & 2 & 1 \\ 2 & 4 & 2 \\ 1 & 2 & 1 \end{bmatrix} \quad h_y(i, j) = \begin{bmatrix} 1 & 0 & -1 \\ 2 & 0 & -2 \\ 1 & 0 & -1 \end{bmatrix} * \begin{bmatrix} 1 & 2 & 1 \\ 2 & 4 & 2 \\ 1 & 2 & 1 \end{bmatrix}$$

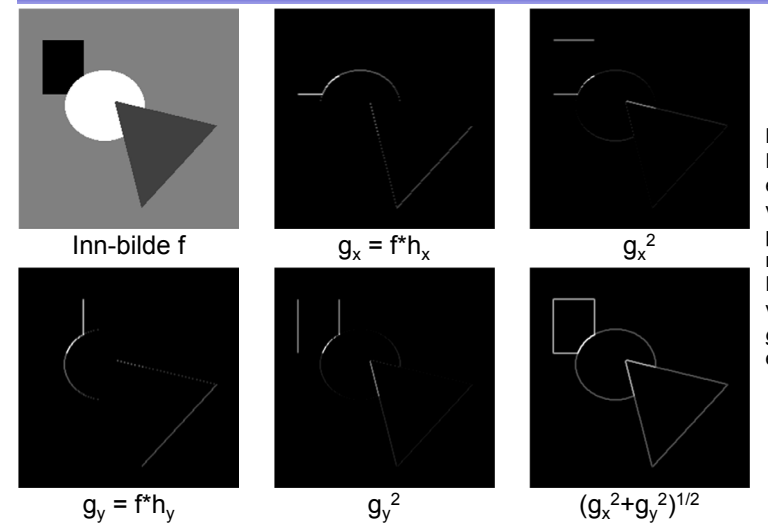
F8 12.03.13

INF2310

29

Merk:
Hvert bilde
er skalert
ved å dele
på sitt
maksimum.
De negative
verdiene i
 g_x og g_y
er satt til 0.

Eksempel: Gradient-beregning med Sobel-operatoren



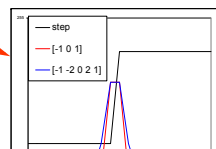
30

Gradient til kant-deteksjon

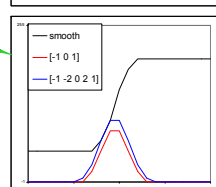


- Gradient-magnituden har «bred respons», men vi ønsker eksakt, tynn kant.

- For en steg-kant:
 - Bredden på responsen er avhengig av størrelsen på filteret.



- For en bred kant (glattet med [1 2 3 2 1]):
 - Bredden på responsen er avhengig av bredden på kanten.



Maksimumet er likt og fornuftig lokalisert!

Bruke den andrederiverte til å finne maksimumene?

F8 12.03.13

INF2310

31

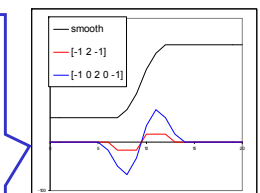
Laplace-operatoren



- Laplace-operatoren er gitt ved:

$$\nabla^2 f = \frac{\partial^2 f}{\partial x^2} + \frac{\partial^2 f}{\partial y^2}$$

- Den endrer fortegn der f et vendepunkt.
- $\nabla^2 f = 0$ markerer kant-posisjon.
- $|\nabla^2 f|$ har to ekstremverdier per kant; på starten og på slutten av kanten.
 - Derfor brukte vi den tidligere til å forbedre bildeskarpheten!

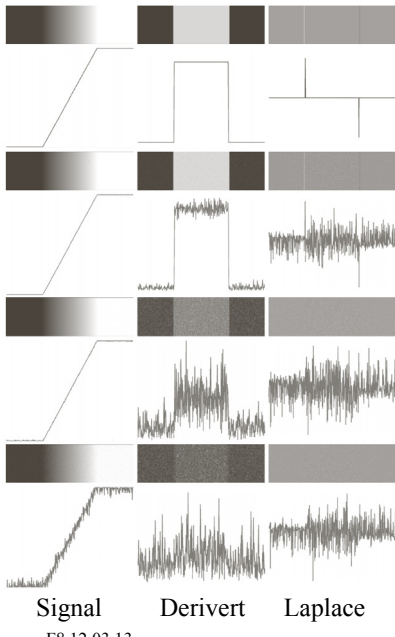


- Kantens eksakte posisjon er **nullgjennomgangen**.
- Dette gir tynne kanter.
- Vi finner bare kant-posisjoner, ikke kant-retninger.

F8 12.03.13

INF2310

32



Også lavpassfiltrere?

FIGURE 10.11 First column: Images and intensity profiles of a ramp edge corrupted by random Gaussian noise of zero mean and standard deviations of 0.0, 0.1, 1.0, and 10.0 intensity levels, respectively. Second column: First-derivative images and intensity profiles. Third column: Second-derivative images and intensity profiles.

Signal Derivert Laplace

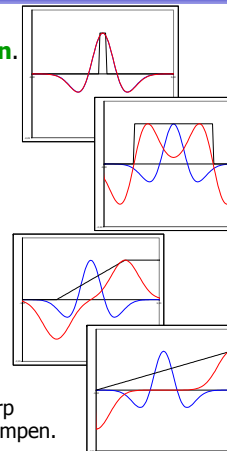
F8 12.03.13

INF2310

33

Kantdeteksjon ved LoG-nullgjennomganger

- Tommelfingerregel for strukturer:
LoG-kjernen må være smalere enn strukturen.
 - Strukturen er mindre enn halvparten av LoG-kjernen
=> Nullgjennomgangene er utenfor kantskillene
 - Strukturen er større enn halvparten av LoG-filteret
=> Nullgjennomgangene er nøyaktig kantskillene
 - Et sted i mellom: Avhenger av diskretiseringen og tilnærmingen av LoG-filteret.
- Tommelfingerregel for ramper:
LoG-filteret må være større enn rampen.
 - Rampen er bredere enn LoG-filteret,
=> Ingen nullgjennomgang, bare et null-platå.
 - Ellers: Nullgjennomgang midt på rampen
(kan få én 0-respons akkurat på midten),
altså en fornuftig definisjon av kantskillet til rampen.
 - P.g.a. støy krever ofte at nullpasseringen er skarp
=> LoG-filteret må være betydelig større enn rampen.
- => **Velg kjerne- og filterstørrelsen med omhu!**
 - Angis først og fremst av standardavviket til Gauss-funksjonen,
som gir bredden av LoG-kjernen og antyder størrelsen av LoG-filteret.



F8 12.03.13

INF2310

35

To måter å lage LoG-operatorer

- Ofte lages og implementeres en LoG-operator som konvolusjonen av en Laplace-operator og et Gauss-filter.
- Ofte defineres en **LoG-operator** som en **sampling av LoG-funksjonen**, som er resultatet av å anvende Laplace-operatoren på Gauss-funksjonen i det **kontinuerlige domenet**.
- Disse fremgangsmåtene gir generelt ikke *helt* like filtre, men begge resulterer i filtre vi kaller LoG-operatorer.

F8 12.03.13

INF2310

34

Ideen til Canny

- Lag en kantdetektor som er optimal i forhold til følgende tre kriterier:
 - Best mulig deteksjon (alle kanter og bare kanter)
 - God kant-lokalisering
 - Én enkelt respons
- Optimer ved bruk av et bilde med støy.
- Resultat: Følgende enkle algoritme oppnår nesten optimumet:

F8 12.03.13

INF2310

36

Cannys algoritme

1. Lavpassfiltrer med Gauss-filter (med gitt σ).
2. Finn gradient-magnituden og gradient-retningen.
3. Tynning av gradient-magnitude ortogonalt på kant.
 - F.eks.: Hvis et piksel i gradient-magnitude-bildet har en 8-nabo i eller mot gradient-retningen med høyere verdi, så settes pikselverdien til 0.
4. Hysterese-terskling (to terskler, T_l og T_h):
 - a. Merk alle piksler der $g(x,y) \geq T_h$
 - b. For alle piksler der $g(x,y) \in [T_l, T_h]$:
 - Hvis (4 eller 8)-nabo til et merket piksel, så merkes dette pikselet også.
 - c. Gjenta fra trinn b til konvergens.

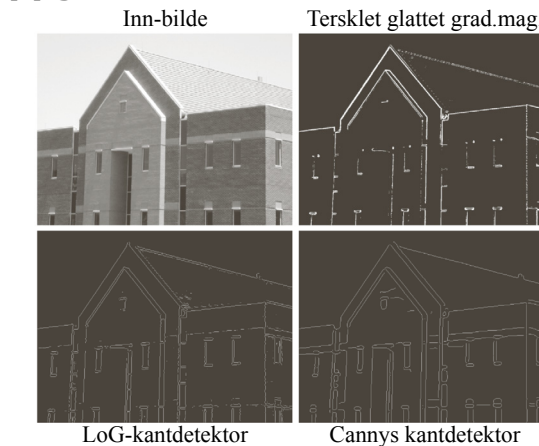
F8 12.03.13

INF2310

37

Eksempel: Kantdeteksjon

- **Oppgave:** Finn fremtredende kanter.



a
b
c
d

FIGURE 10.25
(a) Original image of size 834×1114 pixels, with intensity values scaled to the range $[0, 1]$.
(b) Thresholded gradient of smoothed image.
(c) Image obtained using the Marr-Hildreth algorithm.
(d) Image obtained using the Canny algorithm. Note the significant improvement of the Canny image compared to the other two.

F8 12.03.13

INF2310

38